

І.А. Емельянова, д-р техн. наук,
А.А. Задорожний, канд. техн. наук,
А.С. Непорожнєв, канд. техн. наук

Харківський національний університет будівництва та архітектури, Харків, Україна

Н.А. Меленцов

ООО "Стальконструкція", Харків, Україна

АНАЛИЗ ДВИЖЕНИЯ БЕТОННОЙ СМЕСИ ПО ТРУБОПРОВОДАМ ПРИ ИСПОЛЬЗОВАНИИ ДВУХПОРШНЕВЫХ РАСТВОРОБЕТОНОНАСОСОВ СОГЛАСНО МОДЕЛИ ШВЕДОВА-БИНГАМА

THE ANALYSIS OF MOVEMENT OF CONCRETE MIXTURE IN THE PIPELINE WITH THE USE OF TWO-RECIPROCACTION CONCRETE SOLUTION PUMP ACCORDING MODEL SHVEDOVA-BINGAMA

Приведены зависимости для описания рабочего процесса движения бетонной смеси по трубопроводам с использованием модели Шведова–Бингама при акценте на "пробковом" режиме модели и Ньютона при ламинарном режиме движения. Приведен анализ движения бетонной смеси в трубопроводе по расчетным данным ее секундного расхода. Показана недопустимость "пробкового" режима.

Ключевые слова: секундный расход бетонной смеси, динамическая сдвиговая вязкость, трубопровод, градиент скорости, касательное напряжение.

Основная часть

Бетонная смесь является невязкой жидкостью [1] и может быть рассмотрена как бингамовская жидкость. Ее движение по трубопроводу после подачи растворобетононасосом или бетононасосом будет иметь место только после приложения начального напряжения сдвига или предела текучести τ_0 .

В таком случае $\tau - \tau_0 = \mu \cdot \left(\frac{d\vartheta}{dz} \right)$, откуда

$$f(\tau) = \frac{(\tau - \tau_0)}{\mu}, \text{ при } \tau_0 < \tau < \tau_{cm}, \quad (1)$$

где τ — напряжения сдвига, возникающие между слоями транспортируемой смеси по трубопроводу, $\frac{d\vartheta}{dz}$ — градиент скорости движения смеси, l/c .

Причем, $f(\tau) = 0$, при $0 < \tau < \tau_0$.

Из ранее проведенных исследований известно, что

$$\tau_{cm} = \frac{1}{2} \Delta p \cdot \frac{R_{mp}}{l}, \quad (2)$$

где τ_{cm} — сдвиговое напряжение на стенке трубопровода, которое испытывает транспортируемая бетонная смесь, Δp , l — длина исследуемого участка трубопровода, m , R_{mp} — радиус трубопровода, m .

Объемный расход смеси, проходящей через участок трубопровода радиусом r , определяется как

$$dQ_{cek} = 9 \cdot 2\pi r \cdot dr. \quad (3)$$

В окончательном виде получим

$$Q_{cek} = \frac{\pi R_{mp}^3 \cdot \tau_{cm}}{4\mu} \cdot \left[1 - \frac{4}{3} \cdot \frac{\tau_0}{\tau_{cm}} + \frac{1}{3} \left(\frac{\tau_0}{\tau_{cm}} \right)^4 \right], \quad (4)$$

После подстановки в уравнение (4) зависимости (2) секундный расход смеси может быть найден согласно формулы

$$Q_{cek} = \frac{\pi R_{mp}^4 \cdot \Delta p}{8\mu \cdot l} \cdot \left[1 - \frac{4}{3} \cdot \frac{2 \cdot l_{mp} \cdot \tau_0}{\Delta p \cdot R_{mp}} + \frac{1}{3} \left(\frac{2 \cdot l_{mp} \cdot \tau_0}{\Delta p \cdot R_{mp}} \right)^4 \right], \quad (5)$$

При $r/R=0,5$, $r = r_s$, где r_s — радиус ядра потока, можно отбросить последний член уравнения (5).

В таком случае приближенное уравнение для определения расхода смеси будет иметь вид [2]

$$Q_{cek} = \frac{\pi R_{mp}^3}{4\mu} \cdot \left(\frac{\Delta p \cdot R_{mp}}{2l_{mp}} - \frac{4}{3}\tau_0 \right).$$

Согласно рисунка 1, а профиль скоростей описывается уравнением

$$\vartheta = \frac{1}{\mu} \int_0^R \left(\frac{\Delta p r}{2l_{mp}} - \tau_0 \right) dr, \quad (6)$$

после интегрирования которого получим

$$\vartheta = \frac{\Delta p}{4l_{mp} \cdot \mu} (R - r_s)^2 \text{ при } 0 < r < r_s \text{ и}$$

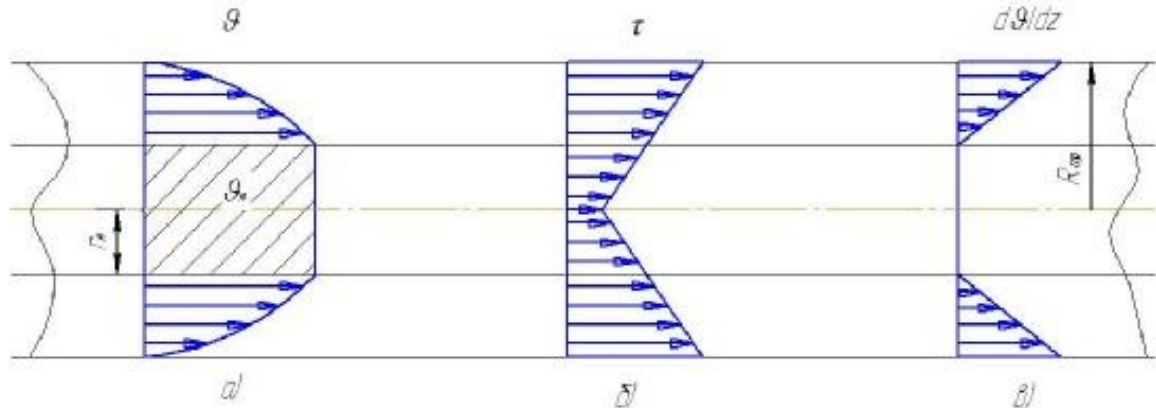


Рисунок 1 — Епюри розподілення:
а) швидкостей, б) касательних напруженостей, в) градієнта швидкості

$$\vartheta = \frac{\Delta p}{4l_{mp} \cdot \mu} (R_{mp}^2 - r^2) - \frac{\tau_0}{\mu} (R_{mp} - r) \text{ при } r_a < r < R_{mp}, \quad (7)$$

градієнт швидкості при цьому у стінки трубопровода може бути представлений як

$$\frac{d\vartheta}{dz} = \frac{\Delta p \cdot R_{mp}}{2l_{mp} \cdot \mu} - \frac{\tau_0}{\mu}, \quad (8)$$

Таким образом, залежності (1), (6), (7), (8) позволяють побудувати епюри розподілення, представлені на рисунках 1, а, б, в для конкретних умов транспортування бетонних сумішей по трубопроводу зазначеної динамічної вязкості.

При ламинарному режимі руху бетонної суміші як бингамової рідини по трубопроводу розподілення швидкостей, касательних напруженостей та градієнта швидкості в її потоці представлені на рисунку 1, звідки видно, що напруження τ падає до 0 в центрі трубопровода, але вблизі осової лінії існує зона, в якій відсутній рух сдвигу. В цій зоні суміш рухається як твердий поршень.

Існуючи умова $r_a < r < R_{mp}$ та враховуючи залежність (6), швидкість потоку суміші по трубопроводу визначається як

$$\vartheta = \frac{\Delta p}{4l_{mp} \cdot \mu} (R_{mp}^2 - r^2) - \frac{\tau_0}{\mu} (R_{mp} - r). \quad (9)$$

Приравнюючи формули (7) та (8) з урахуванням зазначених умов, встановлюємо їх правдивість, отримуємо

$$r_a = \frac{2\Delta l}{\Delta p \cdot R_{mp}} \cdot \tau_0 \cdot R_{mp} = \frac{\tau_0}{\tau_{cm}} \cdot R_{mp}, \quad (10)$$

В такому випадку при $r_a < r < R_{mp}$, враховуючи залежність (7),

$$\vartheta = \frac{\Delta p}{4l_{mp} \cdot \mu} \cdot [R - r_a]^2 = \frac{\Delta p}{4l_{mp} \cdot \mu} \cdot \left[R_{mp} - \frac{\tau_0}{\tau_{cm}} \cdot R_{mp} \right]^2 = \dots \quad (11)$$

$$= \frac{\Delta p \cdot R^2}{4l_{mp} \cdot \mu} \cdot \left[1 - \frac{\tau_0}{\tau_{cm}} \right]^2 = \frac{\tau_{cm} \cdot R_{mp}}{2\mu} \cdot \left[1 - \frac{\tau_0}{\tau_{cm}} \right]^2$$

Поскольку в моделі Шведова–Бингама при $\vartheta = 0$ $r = R_{mp}$, $\vartheta / r = R_{mp} = 0$ ϑ_{cp} в діапазоні $r_a < r < R_{mp}$ може бути знайдена як

$$\vartheta_{cp} = \frac{\Delta p \cdot R_{mp}^2}{8\Delta l_{mp} \cdot \mu} \cdot \left[1 - \frac{\tau_0}{\tau_{cm}} \right]^2 \text{ або } \vartheta_{cp} = \frac{1}{2} \cdot \vartheta_a. \quad (12)$$

Таким образом, проведені теоретичні дослідження дозволили рекомендувати наступні залежності для обчислення реологічної моделі Шведова–Бингама при аналізі процесу транспортування бетонних сумішей по трубопроводам.

$$\begin{aligned} Q_{cek} &= \frac{\pi R_{mp}^3 \cdot \tau_{cm}}{\mu} \cdot \left[1 - \frac{4}{3} \cdot \frac{\tau_0}{\tau_{cm}} + \frac{1}{3} \left(\frac{\tau_0}{\tau_{cm}} \right)^4 \right], \\ \vartheta_a &= \frac{\tau_{cm} \cdot R_{mp}}{2\mu} \cdot \left[1 - \frac{\tau_0}{\tau_{cm}} \right]^2, \vartheta_{cp} = \frac{1}{2} \cdot \vartheta_a, r_a = \frac{\tau_0}{\tau_{cm}} \cdot R_{mp}, \end{aligned} \quad (13)$$

В таблиці 1 приведені параметри руху бетонної суміші по трубопроводу згідно з реологічної моделі Шведова–Бингама при наявності ламинарного режиму.

При руху бетонної суміші по трубопроводу слід учитувати існування двох областей: рух в зоні, яка знаходиться за межами пограничного шару (τ) та рух в пограничному шарі (τ_{cm}), де відбувається торможення руху за рахунок дії сил трініння. Такий пограничний шар можна назвати "смазочним" шаром та визначити його як

$$\delta_{cm} = R_{mp} - r_a, \quad (14)$$

Для різних параметрів в таблиці 2 приведені значення "смазочного" шару для моделі Шведова–Бингама. При цьому не враховуються ефекти структуроутворення бетонної суміші. В рамках моделі Шведова–Бингама при умові сдвигового руху бетонної суміші вовчно не існує: рухається лише тверде, квазитверде середовище при дуже малих швидкостях "смазочного" шару. В такому випадку, секундний расход суміші

Таблица 1 — Расчетные показатели процесса движения бетонных смесей по трубопроводам согласно модели Шведова-Бингама

D, м	R, м	Горизонтальный трубопровод				Вертикальный трубопровод	
		$\Delta p = 8 \cdot 10^6$ Па		$\Delta p = 1,5 \cdot 10^7$ Па		$\Delta p = 86,87 \cdot 10^5$ Па	$\Delta p = 156,87 \cdot 10^5$ Па
		$\Delta l = 200$ м	$\Delta l = 250$ м	$\Delta l = 200$ м	$\Delta l = 250$ м	$\Delta l = 50$ м	$\Delta l = 50$ м
$5 \cdot 10^{-2}$	$2,5 \cdot 10^{-2}$	$\tau_{cm} = 500$ Па $\vartheta_a = 1 \cdot 10^{-3}$ м/с $r_a = 15 \cdot 10^{-3}$ м $Q_{cek} = 6 \cdot 10^{-6}$ м ³ /с	$\tau_{cm} = 400$ Па $\vartheta_a = 3,1 \cdot 10^{-3}$ м/с $r_a = 19 \cdot 10^{-3}$ м $Q_{cek} = 3,1 \cdot 10^{-6}$ м ³ /с	$\tau_{cm} = 937,5$ Па $\vartheta_a = 5,4 \cdot 10^{-3}$ м/с $r_a = 8 \cdot 10^{-3}$ м $Q_{cek} = 2,7 \cdot 10^{-5}$ м ³ /с	$\tau_{cm} = 750$ Па $\vartheta_a = 3,4 \cdot 10^{-3}$ м/с $r_a = 0,01$ м $Q_{cek} = 1,75 \cdot 10^{-5}$ м ³ /с	$\tau_{cm} = 2000$ Па $\vartheta_a = 0,018$ м/с $r_a = 3,8 \cdot 10^{-3}$ м $Q_{cek} = 7,9 \cdot 10^{-5}$ м ³ /с	$\tau_{cm} = 3750$ Па $\vartheta_a = 0,04$ м/с $r_a = 2 \cdot 10^{-3}$ м $Q_{cek} = 1,64 \cdot 10^{-4}$ м ³ /с
$7,5 \cdot 10^{-2}$	$3,75 \cdot 10^{-2}$	$\tau_{cm} = 750$ Па $\vartheta_a = 5,1 \cdot 10^{-3}$ м/с $r_a = 15 \cdot 10^{-3}$ м $Q_{cek} = 5,9 \cdot 10^{-5}$ м ³ /с	$\tau_{cm} = 600$ Па $\vartheta_a = 2,8 \cdot 10^{-3}$ м/с $r_a = 0,019$ м $Q_{cek} = 3,5 \cdot 10^{-5}$ м ³ /с	$\tau_{cm} = 1406,3$ Па $\vartheta_a = 16 \cdot 10^{-3}$ м/с $r_a = 8 \cdot 10^{-3}$ м $Q_{cek} = 1,67 \cdot 10^{-4}$ м ³ /с	$\tau_{cm} = 1125$ Па $\vartheta_a = 11,3 \cdot 10^{-3}$ м/с $r_a = 0,01$ м $Q_{cek} = 1,2 \cdot 10^{-4}$ м ³ /с	$\tau_{cm} = 3000$ Па $\vartheta_a = 45,6 \cdot 10^{-3}$ м/с $r_a = 3,75 \cdot 10^{-3}$ м $Q_{cek} = 4,31 \cdot 10^{-4}$ м ³ /с	$\tau_{cm} = 5625$ Па $\vartheta_a = 0,095$ м/с $r_a = 2 \cdot 10^{-3}$ м $Q_{cek} = 9,15 \cdot 10^{-4}$ м ³ /с
10^{-1}	$5 \cdot 10^{-2}$	$\tau_{cm} = 1000$ Па $\vartheta_a = 0,012$ м/с $r_a = 0,015$ м $Q_{cek} = 2,4 \cdot 10^{-4}$ м ³ /с	$\tau_{cm} = 800$ Па $\vartheta_a = 7,8 \cdot 10^{-3}$ м/с $r_a = 0,019$ м $Q_{cek} = 1,6 \cdot 10^{-4}$ м ³ /с	$\tau_{cm} = 1875$ Па $\vartheta_a = 0,033$ м/с $r_a = 8 \cdot 10^{-3}$ м $Q_{cek} = 5,8 \cdot 10^{-4}$ м ³ /с	$\tau_{cm} = 1500$ Па $\vartheta_a = 0,024$ м/с $r_a = 0,01$ м $Q_{cek} = 4,3 \cdot 10^{-4}$ м ³ /с	$\tau_{cm} = 4000$ Па $\vartheta_a = 0,086$ м/с $r_a = 3,75 \cdot 10^{-3}$ м $Q_{cek} = 1,4 \cdot 10^{-3}$ м ³ /с	$\tau_{cm} = 7500$ Па $\vartheta_a = 0,17$ м/с $r_a = 2 \cdot 10^{-3}$ м $Q_{cek} = 2,8 \cdot 10^{-3}$ м ³ /с
$2,5 \cdot 10^{-1}$	$1,25 \cdot 10^{-1}$	$\tau_{cm} = 2500$ Па $\vartheta_a = 0,121$ м/с $r_a = 0,015$ м $Q_{cek} = 0,013$ м ³ /с	$\tau_{cm} = 2000$ Па $\vartheta_a = 0,09$ м/с $r_a = 0,019$ м $Q_{cek} = 9,8 \cdot 10^{-3}$ м ³ /с	$\tau_{cm} = 4687,5$ Па $\vartheta_a = 0,26$ м/с $r_a = 8 \cdot 10^{-3}$ м $Q_{cek} = 0,026$ м ³ /с	$\tau_{cm} = 3750$ Па $\vartheta_a = 0,20$ м/с $r_a = 0,01$ м $Q_{cek} = 0,021$ м ³ /с	$\tau_{cm} = 10000$ Па $\vartheta_a = 0,59$ м/с $r_a = 3,75 \cdot 10^{-3}$ м $Q_{cek} = 0,059$ м ³ /с	$\tau_{cm} = 18750$ Па $\vartheta_a = 1,13$ м/с $r_a = 2 \cdot 10^{-3}$ м $Q_{cek} = 0,11$ м ³ /с

Примечание: 10^3 Па·с, 300 Па.

сматривается как $Q_{cek} = 2\pi R_{mp}^2 \vartheta_a$, где ϑ_a — скорость движения этого ядра. Скорость ядра может быть вычислена по ранее приведенным формулам [зависимость (13)] либо взята такой, как и скорость “смазочного” слоя, вовлекающей квазивердое ядро бетонной смеси в движение по трубопроводу за счет введения пластификаторов, ПАВ. Величину скорости U_c “смазочного” слоя смеси возле стенок трубопровода можно увеличить, что в свою очередь увеличит скорость движения квазивердого ядра. При этом можно рассмотреть вариант $U_c = \vartheta_a$. Тогда $Q_{cek} = 2\pi R_{mp}^2 \tilde{\vartheta}_a$.

Рассматривается “пробковый” режим движения квазивердого ядра, при котором сдвигового движения слоев смеси в трубопроводе нет. В этом случае $\tilde{\vartheta}_a$ определяется соотношением

$$\left\{ \begin{array}{l} \vartheta_a = \frac{R_{mp}^2 \cdot \frac{\Delta p}{\Delta l}}{4\mu} \cdot \left[1 - \left(\frac{r_a}{R_{mp}} \right)^2 \right] + \frac{R_{mp} \cdot \tau_0}{\mu} \cdot \left[1 - \left(\frac{r_a}{R_{mp}} \right)^2 \right], \\ r_a = \frac{2 \cdot \tau_0}{\Delta p} \cdot \frac{\Delta l}{\Delta l}, \end{array} \right. \quad (15)$$

$$(16)$$

Таблица 2 — Расчетные значения толщины “смазочного” слоя.

D, м	R, м	Горизонтальный трубопровод				Вертикальный трубопровод	
		$\Delta p = 8 \cdot 10^6$ Па		$\Delta p = 1,5 \cdot 10^7$ Па		$\Delta p = 86,87 \cdot 10^7$ Па	$\Delta p = 156,87 \cdot 10^7$ Па
		$\Delta l = 200$ м	$\Delta l = 250$ м	$\Delta l = 200$ м	$\Delta l = 250$ м	$\Delta l = 50$ м	$\Delta l = 50$ м
$5 \cdot 10^{-2}$	$2,5 \cdot 10^{-2}$	$\delta_{cm} = 0,01$ м	$\delta_{cm} = 6 \cdot 10^{-3}$ м	$\delta_{cm} = 0,017$ м	$\delta_{cm} = 0,015$ м	$\delta_{cm} = 0,02$ м	$\delta_{cm} = 0,023$ м
$7,5 \cdot 10^{-2}$	$3,75 \cdot 10^{-2}$	$\delta_{cm} = 0,023$ м	$\delta_{cm} = 0,019$ м	$\delta_{cm} = 0,03$ м	$\delta_{cm} = 0,028$ м	$\delta_{cm} = 0,034$ м	$\delta_{cm} = 0,036$ м
10^{-1}	$5 \cdot 10^{-2}$	$\delta_{cm} = 0,035$ м	$\delta_{cm} = 0,031$ м	$\delta_{cm} = 0,042$ м	$\delta_{cm} = 0,04$ м	$\delta_{cm} = 0,046$ м	$\delta_{cm} = 0,048$ м
$2,5 \cdot 10^{-1}$	$1,25 \cdot 10^{-1}$	$\delta_{cm} = 0,11$ м	$\delta_{cm} = 0,106$ м	$\delta_{cm} = 0,117$ м	$\delta_{cm} = 0,115$ м	$\delta_{cm} = 0,12$ м	$\delta_{cm} = 0,123$ м

Таблица 3 — Расчетные параметры процесса движения бетонных смесей по трубопроводам согласно модели Шведова–Бингама

D, м	R, м	Горизонтальный трубопровод				Вертикальный трубопровод	
		$\Delta p = 8 \cdot 10^6$ Па		$\Delta p = 1,5 \cdot 10^7$ Па		$\Delta p = 86,87 \cdot 10^5$ Па	$\Delta p = 156,87 \cdot 10^5$ Па
		$\Delta l = 200$ м	$\Delta l = 250$ м	$\Delta l = 200$ м	$\Delta l = 250$ м	$\Delta l = 50$ м	$\Delta l = 50$ м
$5 \cdot 10^{-2}$	$2,5 \cdot 10^{-2}$	$Q_{cek} = 1,9 \cdot 10^{-6}$ м ³ /с	$Q_{cek} = 5,7 \cdot 10^{-7}$ м ³ /с	$Q_{cek} = 1,1 \cdot 10^{-5}$ м ³ /с	$Q_{cek} = 6,6 \cdot 10^{-6}$ м ³ /с	$Q_{cek} = 3,1 \cdot 10^{-5}$ м ³ /с	$Q_{cek} = 7,8 \cdot 10^{-5}$ м ³ /с
$7,5 \cdot 10^{-2}$	$3,75 \cdot 10^{-2}$	$Q_{cek} = 2,2 \cdot 10^{-5}$ м ³ /с	$Q_{cek} = 1,2 \cdot 10^{-5}$ м ³ /с	$Q_{cek} = 7,5 \cdot 10^{-5}$ м ³ /с	$Q_{cek} = 5 \cdot 10^{-5}$ м ³ /с	$Q_{cek} = 2,0 \cdot 10^{-4}$ м ³ /с	$Q_{cek} = 4,3 \cdot 10^{-4}$ м ³ /с
10^{-1}	$5 \cdot 10^{-2}$	$Q_{cek} = 9,6 \cdot 10^{-5}$ м ³ /с	$Q_{cek} = 6,0 \cdot 10^{-5}$ м ³ /с	$Q_{cek} = 2,6 \cdot 10^{-4}$ м ³ /с	$Q_{cek} = 1,9 \cdot 10^{-4}$ м ³ /с	$Q_{cek} = 6,6 \cdot 10^{-4}$ м ³ /с	$Q_{cek} = 1,4 \cdot 10^{-3}$ м ³ /с
$2,5 \cdot 10^{-1}$	$1,25 \cdot 10^{-1}$	$Q_{cek} = 5,9 \cdot 10^{-3}$ м ³ /с	$Q_{cek} = 4,4 \cdot 10^{-3}$ м ³ /с	$Q_{cek} = 0,013$ м ³ /с	$Q_{cek} = 9,7 \cdot 10^{-3}$ м ³ /с	$Q_{cek} = 0,028$ м ³ /с	$Q_{cek} = 0,056$ м ³ /с

С учетом вышеуказанных зависимостей при условии, что $r_a \rightarrow R_{mp}$, весь расход смеси, проходящей по трубопроводу, можно определить согласно зависимости:

$$Q_{cek} = 2\pi R_{mp}^2 \cdot \tilde{\vartheta}_a = \frac{1}{4\mu} \cdot \pi R_{mp}^2 \cdot \frac{\Delta p}{\Delta l_{mp}} \cdot \delta_{cm}^2. \quad (17)$$

При учете особенностей структурообразования бетонной смеси, когда $\delta_{cm} \rightarrow 0$ и во внимание берется фактор времени, оказывающий влияние на динамическую вязкость [зависимость (17)] наблюдается снижение секундного расхода смеси, который с этим параметром находится в обратной пропорциональности.

В таблице 3 приведены расчетные значения секундного расхода бетонной смеси, определяемого согласно зависимости (16) при наличии “смазочного” слоя и при “пробковом” режиме для модели Шведова–Бингама.

В таблице 4 приведены расчетные значения секундного расхода бетонной смеси, которая транспортируется по трубопроводу и которая представлена вязкой моделью Ньютона.

Расчет секундного расхода в данном случае определяется согласно зависимости:

$$Q_{cek} = \frac{\pi R_{mp}^3 \cdot (R_{mp} \cdot \Delta p)}{2 \cdot \mu \cdot \Delta l_{mp}}, \quad (18)$$

Таблица 4 — Расчетные значения секундного расхода бетонной смеси, транспортируемой по трубопроводу, представленные вязкой моделью Ньютона.

D, м	R, м	Горизонтальный трубопровод				Вертикальный трубопровод	
		$\Delta p = 8 \cdot 10^6$ Па		$\Delta p = 1,5 \cdot 10^7$ Па		$\Delta p = 86,87 \cdot 10^5$ Па	$\Delta p = 156,87 \cdot 10^5$ Па
		$\Delta l = 200$ м	$\Delta l = 250$ м	$\Delta l = 200$ м	$\Delta l = 250$ м	$\Delta l = 50$ м	$\Delta l = 50$ м
$5 \cdot 10^{-2}$	$2,5 \cdot 10^{-2}$	$Q_{cek} = 2,454 \cdot 10^{-5} \frac{m^3}{s}$	$Q_{cek} = 1,963 \cdot 10^{-5} \frac{m^3}{s}$	$Q_{cek} = 4,602 \cdot 10^{-5} \frac{m^3}{s}$	$Q_{cek} = 3,682 \cdot 10^{-5} \frac{m^3}{s}$	$Q_{cek} = 1,066 \cdot 10^{-4} \frac{m^3}{s}$	$Q_{cek} = 1,925 \cdot 10^{-4} \frac{m^3}{s}$
$7,5 \cdot 10^{-2}$	$3,75 \cdot 10^{-2}$	$Q_{cek} = 1,243 \cdot 10^{-4} \frac{m^3}{s}$	$Q_{cek} = 9,94 \cdot 10^{-5} \frac{m^3}{s}$	$Q_{cek} = 2,33 \cdot 10^{-4} \frac{m^3}{s}$	$Q_{cek} = 1,864 \cdot 10^{-4} \frac{m^3}{s}$	$Q_{cek} = 5,397 \cdot 10^{-4} \frac{m^3}{s}$	$Q_{cek} = 9,746 \cdot 10^{-4} \frac{m^3}{s}$
10^{-1}	$5 \cdot 10^{-2}$	$Q_{cek} = 3,927 \cdot 10^{-4} \frac{m^3}{s}$	$Q_{cek} = 3,142 \cdot 10^{-4} \frac{m^3}{s}$	$Q_{cek} = 7,363 \cdot 10^{-4} \frac{m^3}{s}$	$Q_{cek} = 5,89 \cdot 10^{-4} \frac{m^3}{s}$	$Q_{cek} = 1,706 \cdot 10^{-3} \frac{m^3}{s}$	$Q_{cek} = 3,08 \cdot 10^{-3} \frac{m^3}{s}$
$2,5 \cdot 10^{-1}$	$1,25 \cdot 10^{-1}$	$Q_{cek} = 0,015 \frac{m^3}{s}$	$Q_{cek} = 0,012 \frac{m^3}{s}$	$Q_{cek} = 0,029 \frac{m^3}{s}$	$Q_{cek} = 0,023 \frac{m^3}{s}$	$Q_{cek} = 0,067 \frac{m^3}{s}$	$Q_{cek} = 0,12 \frac{m^3}{s}$

Сопоставление данных таблиц 3 и 4 показывает, что по сравнению с режимом ламинарного движения смеси (таблица 4), согласно вязкой модели Ньютона когда у стенок трубопроводов имеется сдвиговое смещение слоев смеси $\tau_{cm} > \tau_0$, при "пробковом" режиме согласно модели Шведова–Бингама (таблица 3) секундный расход изменяется в 2,5–5 раз. В связи с этим, следует констатировать, что при процессе транспортирования бетонных смесей по трубопроводам "пробковый" режим не допустим.

Выводы

1. Приведены зависимости для расчета реологической модели Шведова–Бингама при анализе процесса транспортирования бетонных смесей по трубопроводам с учетом наличия "смазочного" слоя и при "пробковом" режиме.

2. Приведены расчетные данные по секундному расчету бетонной смеси который определяется по формулам моделей Шведова–Бингама и Ньютона.

3. Обоснована недопустимость наличия "пробкового" режима при транспортировании бетонных смесей по трубопроводам.

Литература

- Смольский Б.М. Реодинамика и теплообмен нелинейно-вязкопластичных материалов / Б.М. Смольский, З.П. Шульман, В.М. Гориславец. — Минск: Наука и техника, 1970. — 240 с.
- Гидромеханические процессы химической технологии / П.Г. Романков, М.И. Курочкина. — Л.: Химия, 1982. — 288 с.

References

- Smolskiy B.M. Reodinamika i teploobmen nelineino-viazkoplasticheskikh materialov / B.M. Smolskiy, Z.P. Shulman, V.M. Gorislavets. — Minsk: Nauka i tekhnika, 1970. — 240 s.
- Gidromekhanicheskie protsessy himicheskoi tehnologii / P.G. Romankov, M.I. Kurochkina. — L.: Himia, 1982. — 288 s.

Надійшла 23.12.2013

УДК 666.983

АНАЛІЗ РУХУ БЕТОНОЇ СУМІШІ
ПО ТРУБОПРОВОДАХ З ВИКОРИСТАННЯМ
ДВОПОРШНЕВИХ РОЗЧИНОБЕТОНОНАСО-
СІВ ЗГІДНО МОДЕЛІ ШВЕДОВА–БІНГАМА

І.А. Ємельянова, А.А. Задорожний,
А.С. Непорожнєв, Н.А. Меленцов

Наведено залежності для опису робочого процесу руху бетонної суміші по трубопроводах з використанням моделі Шведова–Бінгама при акценті на “пробковому” режимі моделі Ньютона при ламінарному режимі руху. Наведено аналіз руху бетонної суміші в трубопроводі за розрахунковими даними її секундної витрати. Доведено неприпустимість “пробкового” режиму.

Ключові слова: секундна витрата бетонної суміші, динамічна зсувна в'язкість, трубопровід, градієнт швидкості, дотичне напруження.

UDC 666.983

THE ANALYSIS OF MOVEMENT
OF CONCRETE MIXTURE IN THE PIPELINE
WITH THE USE OF TWO-RECIPROCAL
CONCRETE SOLUTION PUMP ACCORDING
MODEL SHVEDOVA–BINGAMA

I.A. Yemelianova, A.A. Zadopozniy,
A.S. Neporoznev, N.A. Melehtsov

Contains dependencies for the description of the working process of the movement of concrete mixture on pipelines with the use of a model Shvedova–Bingama with its emphasis on “colonial” mode and Newton in the laminar flow regime. The analysis of movement of concrete mixture in the pipeline according to the calculated value of its second flow. Shows the inadmissibility of “cork” mode.

Key words: second flow of concrete mixture, dynamic shear viscosity, pipeline, the gradient of velocity, shear stress.